

مطالعه ساختار عروق انگشت خلفی گوسفند با استفاده از روش قالب‌های رگی

محمد زمانی احمد محمودی^{۱*} احمد رضا محمدنیا^۲ سمانه آذر پژوه^۳ مسعود غلامی^۳

(۱) بخش کلینیکال پاتولوژی دانشکده دامپزشکی دانشگاه تهران، تهران - ایران.

(۲) گروه علوم درمانگاهی دانشکده دامپزشکی دانشگاه شهرکرد، شهرکرد - ایران.

(۳) دانش آموخته دانشکده دامپزشکی دانشگاه شهرکرد، شهرکرد - ایران.

(دریافت مقاله: ۳ خرداد ۱۳۸۸ ، پذیرش نهایی: ۲۸ دی ۱۳۸۸)

چکیده

بهدلیل اهمیت بسیار زیادی که ساختار عروقی در بورسی پاتوژن بیماری‌هایی مانند لامینیت (Laminitis) و زخم کفسم دارد، شناخت این ساختارها کاملاً ضروری به نظر می‌رسد. مقالات منتشر شده در مورد ساختار عروقی در گوسفند اندک است. اندام خلفی ۱۵ بره ۳ ماهه از محل مفصل تارس جدا شد. با جدا کردن سرخرگ Dorsal metatarsal artery ابتدا سالین جهت شستشو سوپس رزین متاکریلات برای تشکیل گستز تزریق شد. سرخرگ‌های Common plantar digital و Dorsal common digital سرخرگ‌های Axial (Sole) به دیواره داخلی و ناحیه کفسم (Sole) خون‌رسانی می‌کند و شاخه سوم هم خون‌رسانی به نوار تاجی (Coronary margin) (Axial proper plantar) را بر عهده دارد. سیاهرگ‌های dorsal digital و Abaxial proper plantar Common عهده دارد راناز خون از سم می‌باشد. خون عمدت شبکه‌های سطحی و عمقی ناحیه نوار تاجی و دیواره به درون سیاهرگ Common dorsal digital تخلیه می‌شود و ازان جا به سیاهرگ Dorsal proper digital می‌دهد. سیاهرگ Axial proper plantar به درون سیاهرگ آناستوموزهایی را بشبکه‌های حاصله از سیاهرگ Abaxial proper plantar می‌شود. شبکه‌هایی که در دیواره خارجی، ناحیه کفس (Sole) و سطح کفپای پاشنه (Bulb) قرار دارند، از طریق دوسیاهرگ عمدت خون خود را به درون سیاهرگ Abaxial proper plantar دنائز می‌کنند.

واژه‌های کلیدی: گوسفند، انگشت خلفی، قالب‌های رگی، خون‌رسانی.

تلاش‌های مختلفی که در خصوص اسب صورت گرفته است توسط

محققین بسیاری انجام شده است (۱۱، ۱۸) و حتی مطالعاتی نیز در سطح میکروسکوپ الکترونی صورت گرفته است (۱۴، ۱۹).

شناخت کامل ساختارهای ریزگردش خون ناحیه سم در درک پاتوفیزیولوژی لامینیت لازم به نظر می‌رسد (۲۷). انقباض این عروق و ایسکمی آنها در ناحیه درم سم اسب نقش مهمی در ایجاد لامینیت دارد (۱، ۳، ۵، ۶). بروز ایسکمی برخلاف افزایش جریان خون به سم ناشی از وجود شانت‌های سرخرگی - سیاهرگی اتساع یافته رخ می‌دهد (۴، ۸). این شانت‌ها در مراحلی از لامینیت رخ می‌دهد (۹) و بیشتر در لامینیت دیواره سم و پاپیل‌های انتهایی لامینا اتفاق می‌افتد (۱۹، ۲۲، ۲۳، ۲۶).

در خصوص گاو نیز وضعیت مشابه وجود دارد، اگرچه تعداد مطالعات انجام شده به تعداد مطالعات در مورد اسب نمی‌باشد (۱۰، ۱۳، ۲۴، ۲۷).

در گاونشان داده شده است که کاهش میزان خون‌رسانی که توسط هورمون‌های موثر بر عروق صورت می‌گیرد، می‌تواند روحی عروق محیطی انگشتان و آناستوموزهای سرخرگی - سیاهرگی اثرگذار باشد و سبب بروز لامینیت شود (۲، ۷، ۱۵) و نیز بی نظمی‌های قوس انتهایی و انشعابات جانبی بدون نام در ایجاد زخم کفسم و لامینیت نقش دارد (۲۸).

مقدمه

دو تئوری متفاوت در مورد علت بیماری‌های سم مخصوصاً لامینیت وجود دارد (۱۷). در تئوری اول آنزیم‌ها نقش مهمی ایفا می‌کند. به نظر می‌رسد که متالوپروتئیناز‌ها در این رابطه نقش مهمی دارند. این آنزیم‌ها در بافت‌های همچون استخوان و مفصل وجود دارند. در حالت طبیعی این آنزیم‌ها برای جداسازی رابطه بین سلول به سلول و سلول و غشا پایه لازمند. مهار کننده‌های طبیعی میزان فعالیت این آنزیم‌ها را تنظیم می‌کنند. افزایش فعالیت این آنزیم‌ها که مکانیسم آن به خوبی شناخته نشده است، سبب تحریب اجزای کلیدی تیغه‌های اپیدرمی می‌شود (۱۷). مکانیسم دیگر ساختارهای عروقی است. بنابراین درک ساختار عروقی جهت شناخت شبکه‌های عروقی سم در مورد گاو و اسب در مورد اهمیت شناخت شبکه‌های عروقی از سم در مورد گاو و اسب تحقیقات بسیاری انجام شده است. از آن جمله می‌توان به نقشی که ساختارهای عروقی در برسی پاتوژن ضایعاتی مانند لامینیتیس و زخم کفسم دارد، اشاره نمود (۱، ۳، ۵، ۶، ۲۷) و نیز کاربرد شناخت این شبکه‌های عروقی در جراحی‌های مختلف این ناحیه از سم نیز به اثبات رسیده است (۲۸).

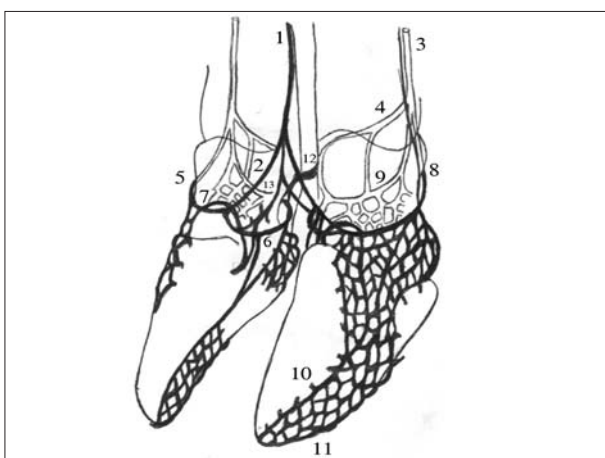




تصویر ۲- نمونه‌ای از قالب‌های (کست‌ها) تهیه شده (رنگدانه سبز رزین عروق را سبز نشان می‌دهد).



تصویر ۱- نمونه‌ای از ایجادداریست برای تثیت کست‌ها.



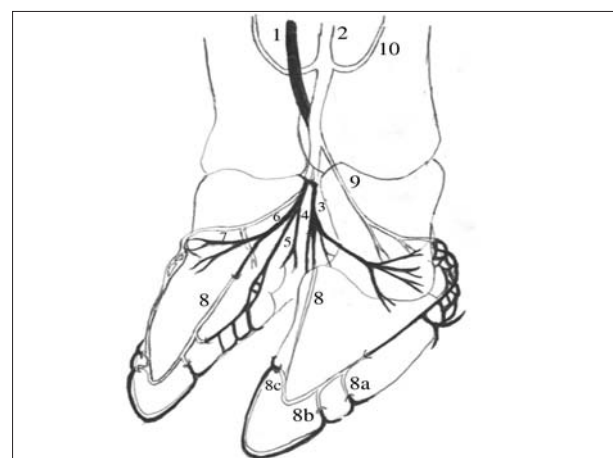
تصویر ۴- تصویر شماتیک سیاهرگ‌های انگشتان اندام خلفی گوسفند.

1. Common dorsal digital vein 2. Dorsal proper digital vein 3. Abaxial proper plantar digital vein 4. Axial proper plantar digital vein 5. Superficial abaxial coronary vein 6. Superficial axial coronary vein 7. Vein connecting the superficial abaxial coronary vein and intraosseous plexus 8. Bulbar vein 9. Plantar digital arch 10. Parietal collecting veins 11. Veins of the sole border 12. Vein anatomizing lateral and medial plantar digital arch 13. Anonymous branches of the common dorsal digital vein.

طرف دیگر تفاوت‌های آشکاری در ساختار لایه‌ای مختلف سم بین گاو و گوسفند مشاهده می‌شود (۱۶)، احتمال می‌رود که تفاوت‌هایی نیز در ساختارهای سیاهرگی و سرخرگی آنها باهم و حتی با گاوهای باشند.

این احتمال رامی توان به دلیل تفاوت‌هایی که در شبکه‌های عروقی بند سوم انگشت و همچنین کوریوم دیواره و کف سم بین گاو و نشخوارکنندگان کوچک وجود دارد، تقویت نمود، اگرچه ذکر شده است که ساختار عروقی سم گاو، خوک و نشخوارکنندگان کوچک یکسان است

. (۱۶)



تصویر ۳- تصویر شماتیک سرخرگ‌های انگشتان اندام خلفی گوسفند.

1. Dorsal common digital artery 2. Common plantar digital artery 3. Proper digital artery 4. Ramus tori digitalis 5. Plantar branch of the proper digital artery 6. Distal phalange artery 7. Coronary artery 8. Terminal arch 9. Artery of bulb (Ramus plantaris phalangis mediae) 10. Artery of proximal sesamoid bone.

بعضی از محققین به تنگ شدگی لومون در پیماری زخم کف سم دست یافته‌اند (۲۵).

نظریه موارد گفته شده، جهت شناخت مکانیسم بسیاری از پیماری‌ها درک صحیح ساختار عروقی لازم به نظر می‌رسد. ولی در مورد گوسفند نیاز به انجام تحقیقات بیشتر در مورد عروق سم لازم به نظر می‌رسد. بررسی ساختار عروقی گوسفند جهت بررسی اعمال طبیعی سم و یادداشت پیماری‌ها مانند لامینیت مورد نیاز می‌باشد. اگرچه در گوسفند هنوز به دلیل عدم درک صحیح ساختار عروقی، مکانیسم لامینیت شناخته نشده است.

از آن جایی که ساختار آناتومیکی سم گوسفند شباهت بسیار زیادی به سم خوک دارد و هردو انگشت آن تصویر آینه‌ای یکدیگر می‌باشند (۱۶) و از



نتایج

سیستم سرخرگی:

اگرچه تفاوت های فنوتیپی جزئی بین نمونه های مختلف دیده می شود، ولی تفاوت عمده ای بین ساختار عروقی اندام های خلفی بین نمونه های مختلف مشاهده نشد.

مسئولیت عده خون رسانی به انگشت های اندام خلفی بر عهده (۱) artery Common digital artery می باشد، که خود ادامه ای از (۳) digital artery Dorsal metatarsal است. شایان ذکر است که (۲) Common plantar artery از سرخرگ Safenous است دارای اهمیت کمتری از Common digital artery است، که در سطح کف پایی بند دوم انگشت به Common digital artery می پیوندد (تصویر ۳). دوشاخه جادا شده از Common plantar digital artery با حرکت رو به بالا به استخوان های کنجدی فوکانی خون رسانی می کنند که (۱۰) bone Artery of proximal sesamoid نامیده می شوند (تصویر ۱). یک سرخرگ به نام (۶) Artery of bulb از محل الحق سرخرگ های ۲ و ۳ به سمت شکمی - جانی جدا می شود، که در ادامه خود به دوشاخه تقسیم می شود، بدین شرح: شاخه ای در سطح جانبی انگشت که در میانه بند سوم وارد کanal تغذیه ای این استخوان می گردد و شاخه دیگر با تشکیل شبکه ای ناحیه پاشنه را خون رسانی می کند (تصویر ۳).

در فضای بین انگشتی سرخرگ Common digital artery به دوشاخه (۳) Proper digital artery تقسیم می شود که با حرکت در سطح محوری بند دوم و سوم انگشت در ابتدای بند دوم به سه شاخه تقسیم می شود (شاخه ۴، ۵، ۶) (تصویر ۳).

شاخه Ramus tori digitalis (۴) به استخوان کنجدی تحتانی و نوار تاجی خون رسانی می کند. شاخه (۵) Plantar branch با حرکت در سطح محوری به چندین شاخه تقسیم شده که یک سری به ناحیه Bulb نفوذ کرده و شاخه های دیگر با حرکت رو به جلو در سطح محوری بند سوم به قسمت های کف سم (Sole) خون رسانی کرده و در نزدیک انتهای بند سوم شاخه اصلی وارد کanal تغذیه ای بند سوم استخوان می شود. شاخه (۶) Distal phalange artery پشتی قبل از وارد شدن به کپسول شاخی، به ۳ شاخه تقسیم می گردد: یک شاخه به نام (Coronary artery) ۷ بادر زدن نوار تاجی به این ناحیه خون رسانی می کند. شاخه دیگر با پخش شدن در سطح پشتی بند سوم به لایه درمیس این بند خون رسانی می کند و شاخه سوم به نام (۸) Terminal arch به طریق پشتی محوری نزدیک زائده منبسط کننده (Extensor process) وارد بند سوم می شود، این شاخه که در درون بند سوم (Pedal bone) به سمت پایین و جلو حرکت می کند (پشتی - انتهایی) در پایان کمان انتهایی (Terminal arch) نامیده می شود که از کanal تغذیه ای بند سوم عبور می کند. این شاخه سوم که در

مواد و روش کار

تعداد ۱۵ بره سه ماهه نژاد لری بختیاری که به لحاظ بالینی سالم بودند، انتخاب شدند. بره ها در کشتارگاه صنعتی کشتار شدند و اندام خلفی آن از محل مفصل تارس جدا شد.

سم های اندام خلفی راست جهت تهیه کست (Cast) استفاده شدند. بر طبق ساختار آناتومیکی سرخرگ Dorsal metatarsal جدا شده و یک آژنژیوکت با سایز ۲۱ درون آن گذاشته شد تا از طریق این سرخرگ مایعات تزریق شود.

سیستم عروقی هر کدام از جفت انگشتان به وسیله نرم ال سالین (۹۰ درصد) شستشو شد. در طی تزریق انگشت به طور متناوب بازو و بسته می شد تا جریان مایعات تسهیل شود. تزریق به وسیله سرنگ ۲۰ سی سی انجام شد، این کارتازمانی انجام گرفت که جریان مایعات کاملاً شفاف شد. سم ها سپس فریز شدند. سم های فریز شده پس از خروج از فریزربه مدت ۲۴ ساعت در دمای اتاق نگهداری شدند و سپس دوباره با نرم ال سالین به حد کافی شستشو شده و به دنبال آن رزین تزریق انجام شد. ماده رزین متاکریلات جهت عملیات Corrosion casting استفاده شد، این محلول شامل ۱۰۰ میلی لیتر از مونومر (جزء A)، ۲۰ میلی لیتر، کاتالیزور (جزء B) و ۱۲ قطره از Promoter (جزء C) و ۲ میلی لیتر از رنگدانه آبی، قرمز یا سبز است.

رزین به وسیله سرنگ ۱۰ سی سی از طریق آژنژیوکت کار گذاشته شده در سرخرگ تزریق شد و تزریق تا جایی انجام گرفت که فشار برگشت مانع از تزریق بیشتر ماده می شد. سپس آژنژیوکت خارج شده و سرخرگ به وسیله لیگاتور بسته شد تا زیارت مواد جلوگیری شود.

بعد از تزریق مواد پلاستیکی انگشتان به مدت ۲۴ ساعت در دمای اتاق نگهداری شدند تا ماده مورد نظر پلیمریزه شود. در این مرحله لازم بود تا جهت تثبیت ساختارهای افزایش اسکلت بندی مناسب استفاده شود تا هنگام گذاشتن سم ها در سود ساختارها به هم نریزد چرا که سود اشباع تمامی بافت های نرم را حل می کرد (تصویر ۱). سپس سم ها در سود گرم و اشباع غرق شدند تا تمامی بافت های نرم تجزیه شود. هر ۲۴ ساعت به مدت ۴-۵ روز نمونه ها زیر آب گرم شستشو شدند و ماده حلال نیز تعویض می شد تا عمل تجزیه شدن بافت های نرم کامل شود. کست های عروقی تهیه شده به مدت ۱۰ دقیقه با آب شستشو شدند، سپس نمونه ها به مدت ۵ دقیقه در الک قرارداده شد و در معرض هوای خشک شد (تصویر ۲).

آماده سازی نمونه ها جهت جداسازی ماکروسکوپی:
انگشتان داخلی و خارجی چند نمونه از اندام خلفی چپ (که با رزین تزریق شده بودند) جهت بررسی موقعیت نسبی عروق حاصل از تهیه کست نسبت به سایر ساختارهای سم، به وسیله اره دستی از یک دیگر جدا و در فرم الین ۱۰ درصد قرارداده شد.



دو شاخه تقسیم می شود، یک شاخه از آن در سطح محوری حرکت می کند و شاخه ای را در دیواره داخلی انگشت تشکیل می دهد. شاخه دیگر در ناحیه نوار تاجی با Abaxial proper plantar digital vein آن استوموز می دهد و خون ناحیه نوار تاجی را در ناز می کند (جزئیات مذکور در مورد این سیاه رگ در تصویر قابل مشاهده نیست - تصویر ۴).

(۳) Abaxial proper plantar digital vein وسیع مریبوط به درمیس سطح محوری، خون دیواره (Wall) و پاشنه plantar digital vein (Bulb) را در ناز می کند. این سیاه رگ (۳) به درون Lateral and Medial vein تخلیه می شود که این ها خود نیز در بالا به Lateral and medial metatarsal تخلیه می شوند. سه شاخه سیاه رگی که خون خود را داخل (۳) Abaxial proper plantar digital vein می کند و آن استوموز هایی را با شبکه های حاصل از (۶) coronary vein می کند (۴، ۸، ۹) که دو سیاه رگ از آنها در قسمت فوکانی پریوپل پاشنه قرار دارند (شاخه ۸، ۹) (تصویر ۴).

Abaxial proper plantar digital vein (۴) در مسیر خود (۴) را دریافت می کند، که این سیاه رگ (۴) با حرکت در سطح محوری بخشی از خون شبکه های این منطقه را در ناز می کند و آن استوموز هایی را با شبکه های حاصل از (۶) coronary vein (Sole) در سطح پایی کف سم (Superficial axial vein) می دهد که ناحیه کف سم را در ناز می کند و همچنین آن استوموز هایی را با شبکه هایی که به درون (۹) Plantar digital arch در سطح محوری در ناز می شوند، می دهد. Plantar digital arch نیز توسط انشعاباتی خون خود را داخل (۴) Axial Proper plantar digital vein تخلیه می کند.

قسمت عده در ناز سطح کف پایی در منطقه نوار تاجی توسط شبکه هایی صورت می گیرد که به درون (۹) Plantar digital arch می شوند که البته انشعاباتی از سیاه رگ ۳ نیز با این انشعابات آن استوموز داده و در در ناز خون این ناحیه همکاری دارد. این قوس (۹) با حرکت رو به پایین به صورت پشتی - انتهایی تا ناحیه راس (Apex) در سطح محوری قسمت عده خون سطح محوری را در ناز می کند که البته در مسیر خود Proper plantar digital vein (۲) آن استوموز هایی را با انشعابات حاصل از (۶) digital vein می دهد. دو قوس Superficial axial coronary vein در هر انگشت توسط توسط یک سیاه رگ با هم آن استوموز می دهند (۱۲). (تصویر ۴).

سیاه رگ هایی که در ناحیه پریوپل پاشنه خون خود را در vein (۸) در ناز می کنند دو شاخه عده هستند که آن استوموز هایی را با شبکه های سطحی نوار تاجی و دیواره خارجی سم تشکیل می دهند که این سیاه رگ ها به صورت پشتی - انتهایی در سطح دور از محور و روی جداره خارجی تا ناحیه راس حرکت کرده و بخش اصلی در ناز خون ناحیه دیواره خارجی و حاشیه کف سم را انجام می دهد و به ترتیب (۱۰) vein (۱۱) Vein of sole border و Parietal collecting در اینجا (Sole) نیز توسط شبکه هایی دیگری که در این مناطق هستند

واقع ادامه Proper digital artery (۳) است در انتهای کانال تغذیه ای با دو سرخرگ که یکی همان انشعابی از سرخرگ (۵) of the proper digital branch است و دیگری ادامه شبکه ناحیه پاشنه می باشد، آن استوموز داده و در طی مسیر خود انشعابات بی نامی (۸b و ۸c) را در سطح محوری دور از محور (Abaxial) به بیرون می فرستد. ۸a انشعاباتی رابه دیواره خارجی سم و کف، ۸b انشعاباتی رابه ناحیه پنجه و کف در هر دو سطح محوری دور از محور و ۸c انشعاباتی را به سطح دیواره داخلی می فرستد (تصویر ۳).

سیستم سیاه رگی

سیستم سیاه رگی در اندام حرکتی خلفی گوسفند از شبکه های متعدد و سیعی شامل عروق آن استوموز دهنده با یکدیگر تشکیل شده است. دو سیاه رگ عمده در ناز کننده خون از هر انگشت (۱) proper plantar digital vein در سطح پشتی و (۳) Common dorsal

در سطح کف پایی می باشند (تصویر ۴).

(۱) در ابتداد دو شاخه به نام Common dorsal digital vein دریافت می کند. این سیاه رگ ها شبکه های سیاه رگی درمیس سطح محوری، دور از محور و پشتی بند های انگشت، را در ناز می کند (تصویر ۴).

Dorsal proper digital vein (۲) با حرکت به سمت دور از محور در ناحیه نوار تاجی دو شاخه عده را دریافت می کنند به نام های axial coronary vein (۶) Superficial Abaxial coronary vein (۵) در تشکیل Superficial Abaxial coronary (۵) سیاه رگ. سیاه رگی سطحی در ناحیه نوار تاجی و دیواره به همراه انشعاباتی از سیاه رگ های مشتق شده از (۳) proper plantar digital vein (۴) Axial proper plantar و Abaxial Superficial abaxial coronary در ادامه انشعابی را دریافت می کند به نام سیاه رگ اتصال دهنده (۷) Superficial Abaxial coronary vein (۶) foramen شبکه داخل استخوانی که انشعابی از آن وارد کانال تغذیه ای (Axial) می شود. (۶) Superficial axial coronary vein (۶) با حرکت در سطح محوری به وسیله یکسری انشعابات خون دیواره داخلی بند سوم را در ناز می کند و توسط یک سری انشعابات دیگر نیز خون سیاه رگی ناحیه کف را در ناز می کند (تصویر ۴).

Common dorsal digital vein (۱) پس از جداسدن شاخه های ۲ در ادامه دو سیاه رگ را دریافت می کند که در منابع به آنها اشاره ای نشده است (شاخه ۱۳) که احتمالاً در تشکیل شبکه های سیاه رگی عمقی دخالت دارد. شاخه ای از آن (۱۳) که به سمت انگشت جانبی حرکت می کند به صورت حرکت رو به پایین در سطح پشتی بند سوم شبکه های را تشکیل می دهد که خون این ناحیه را در ناز می کند و با شبکه های منشعب شده از (۳) Abaxial proper plantar digital vein آن استوموز می دهد. شاخه ای دیگر آن (۱۳) که به سمت انگشت داخلی حرکت می کند خود به



نشد، که این نکته در تضاد با مطالعات سایر محققین (۲۰، ۱۶، ۲۸) می‌باشد که تعداد انشعابات خارج شده از این قوس را ۵ تا ۶ شاخه ذکر کرده‌اند. Vermunt و همکاران (۲۸) نیز تعداد این شاخه‌ها را در گاو ۶ تا ۸ انشعاب ذکر کرده‌اند و نیز اویه حاده در این محل نیز به خوبی نشان داده شده است. در مورد سیستم سیاه‌رگی هم چندین تفاوت عمده قابل مشاهده است. با توجه به مطالعات Vermunt و همکاران (۲۸) و Nickle و همکاران (۱۶) خون ناحیه سم در نشخوار گنندگان بزرگ توسط سه سیاه‌رگ عمده شامل Abaxial proper digital vein، Common dorsal digital vein و Axial & Axial proper digital vein. Common dorsal digital vein شامل سیاه‌رگ عمده در نازک‌ترین قسمت از آن است که دو Common dorsal digital vein این وظیفه را در گوسفند به عهده دارند و Abaxial proper digital vein شاخه‌ای است که خون خود را به درون Axial proper digital vein و Abaxial proper digital vein در نازک‌ترین قسمت از آن می‌رسد. در این تحقیق چنان که توسط Vermunt و همکاران (۲۸) هم تأیید شده، دیده شد که یک سیاه‌رگ بین Abaxial coronary vein و Superficial و شبکه داخل استخوانی بند سوم وجود دارد که خون را از درون این استخوان در نازک‌ترین قسمت، در حالی که Nickle و همکاران (۱۶) بیان می‌دارد شبکه داخل استخوانی خون خود را به درون plantar vein تخلیه می‌کند.

نکته دیگر بافتی شده در این تحقیق این بود که سیاه‌رگ digital dorsal proper در گوسفند قبل از دریافت خون از دو سیاه‌رگ Common dorsal proper، دو سیاه‌رگ عمده خون خود را درون آن در نازک‌ترین قسمت احتمالاً در تشکیل شبکه‌های سیاه‌رگی عمقی ناحیه نوار تاجی دخالت دارند و لیکن نتایج Nickle و همکاران (۱۶) و Vermunt و همکاران (۲۸) در مورد نشخوار گنندگان بزرگ نشان می‌دهد که شبکه‌های عمیق ناحیه نوار تاجی خون خود را درون سیاه‌رگ Axial proper digital vein تخلیه می‌کند.

با بررسی نمونه‌ها نتایج دیگری که حاصل گردید این بود که vein Axial proper digital خود را از درون قوس سیاه‌رگی از طریق یک سیاه‌رگ به درون Axial proper digital تخلیه می‌شود که این نکته در مطالعات سایر محققین که در مورد اسب و گاو تحقیقات مشابهی داشته‌اند، اشاره‌ای نشده است.

قابل ذکر است که قسمت عمده سیاه‌رگ‌های آناستوموز دهنده ناحیه پاشنه که در سایر منابع (۱۶، ۲۸) آن را شبکه اتصال دهنده بین vein Abaxial proper digital و Axial proper digital بدرودen آن را با شبکه اتصال دهنده است. Vermunt و همکاران (۲۸) این در حالی است که در گوسفند آن را با شبکه اتصال دهنده Axial proper digital vein تخلیه می‌شوند و این در حالی است که در گوسفند آن را با شبکه اتصال دهنده Abaxial proper digital vein نقش ناچیزی داشته و نقش اصلی در نازک‌ترین قسمت از آن را با شبکه اتصال دهنده Axial proper digital vein تخلیه می‌کند.

انجام می‌شود. باید خاطر نشان کرد که عروق ناحیه Sole بسیار نازک‌تر از عروق دیواره خارجی سم است (تصویر ۴). شبکه سیاه‌رگی در نازک‌ترین قسمت از دیواره و کف در ناحیه راس به شبکه داخل استخوانی (Intraosseous) متصل می‌شوند. همچنین شبکه‌های سیاه‌رگی در نازک‌ترین قسمت از دیواره داخلی بند سوم آن استوموزهایی را تشکیل می‌دهند.

بحث

سیستم عروقی سم گوسفند در بردهای جوان به وسیله تکنیک قاب‌های رگی (Corrosion casting) بررسی می‌شود که این کار از طریق تزریق ماده رزین در Dorsal metatarsal artery صورت می‌گیرد. علت انتخاب بره به دلیل کمتر بودن ضایعات سم در حیوانات جوان می‌باشد. اگر چه مطالعات منتشر شده ساختار عروقی اندام خلفی را نشان می‌دهند ولی تفاوتی ما بین ساختار عروقی اندام خلفی و قدامی وجود ندارد (۲۸). دلیل انتخاب اندام خلفی، استعداد بیشتر آن جهت درگیری با ضایعات مختلف سم است (۲۸). در این بحث بیشتر نتایج حاصله از این مطالعه با نشخوار گنندگان بزرگ مقایسه می‌شود زیرا همان گونه که مطرح گردید به نظر می‌رسد که ساختار عروقی نشخوار گنندگان بزرگ و کوچک یکسان باشد (۱۶).

بر طبق مطالعات Nickle و همکاران (۱۶)، Sisson و Simoen و همکاران (۲۵) مسئولیت عمدۀ خون رسانی به اندام خلفی در گاو بر عهده سرخرگ‌های Common plantar digital و Abaxial proper plantar آناتومیکی باشد چرا که بیشتر سرخرگ‌های خون رسان در سطح خم کننده انگشت واقع شده‌اند (۲۸). در نتایج این مطالعه مشخص گردید که مسئولیت عمدۀ خون رسانی به این اندام در گوسفند بر عهده سرخرگ plantar digital می‌باشد و نیز سرخرگ Common dorsal digital اشاره کرده بود، در این مطالعه مشاهده نگردید.

در مطالعه حاضر مشخص شد که خون رسانی ناحیه پاشنه بیشتر بر عهده سرخرگ phalangis mediae را که در Vermunt و همکاران (۲۸) می‌باشد، در حالی که Vermunt و همکاران (۲۸) اظهار می‌دارند که در خون رسانی به ناحیه پاشنه سرخرگ Abaxial proper plantar digital هم علاوه بر سرخرگی که به آن اشاره شد نقش مهمی بر عهده دارد (۲۸).

در تحقیق حاضر این نتیجه حاصل شد که Terminal arch در طی مسیر خود در فضای درون استخوانی (Intraosseous) فقط سه انشعاب به فضای بیرونی می‌دهد و نیز زاویه حاده‌ای که در درون استخوان بند سوم گاو توسط دیگر محققین نشان داده بود در گوسفند بهوضوح دیده



References

- Ackerman, N., Gamer, H. E., Coffman, J. R., Clement, J. W. (1975) Angiographic appearance of the normal equine foot and alterations in chronic laminitis. *J. Am. Vet. Med. Assoc.* 166:58-62.
- Boosman, R., Nemeth, F., Gruys, E., Klarenbeek, A., (1989) Arteriographical and pathological change in chronic laminitis in dairy cattle. *Vet. Q.* 11:144-55.
- Coffman, J. R. (1972) Acute laminitis. *J. Am. Vet. Med. Assoc.* 161:1280-1283.
- Coffman, J. R. (1984) Acute laminitis; mechanisms and therapy. In: Equine Internal Medicine. Proceedings of the 6th Bain-Fallon Memorial Lectures. University of Sydney. Aust. Equine Vet. Assoc. 68-72.
- Coffman, J. R., Johnson, J. H., Guffy, M. M., Finocchio, E. J. (1970) Hoof circulation in equine laminitis. *J. Am. vet. Med. Assoc.* 156: 76-83.
- Gamer, H. E. (1975) Pathophysiology of equine laminitis. *Proc. Am. Assoc. Equine Pract.* 21:384-387.
- Greenough, P. R. (1987) Pododermatitis circumscripta in cattle. *Agri-Practice.* 8:17-22.
- Hood, D. M., Stephens, K. A. (1981) Physiopathology of equine laminitis. *Comp. Cont. Educ. Pract. Vet.* 3:454-459.
- Hood, D. M., Amoss, M. S., Hightower, D., McDonald, D. R., McGrath, J. P., McMullan, W. C., Scrutchfield, W. L. (1978) Equine laminitis In Radioisotopic analysis of the hemodynamics of the foot during the acute disease. *J. Equine Med. Surg.* 2:439-444.
- Horowitz, A. (1964) The veins of the thoracic limb of the ox. *The Speculum*, Ohio State University, College of Veterinary Medicine. 27:682-691.
- Kainer, R. A. (1989) Clinical anatomy of the equine foot. *Vet. clin. North Am. Equine Pract.* 5:1-27.
- Maclean, C. W. (1970) A post-mortem X-ray study of laminitis in barley beef animals. *Vet. Rec.* 86:457-462.
- Manohar, M., Kumar, R., Bhargava, A. K., Tyagi, R. P. S. (1973) Angiographic studies of the bovine

این ناحیه را به عهده دارد.

همان طور که در اسب و گاو مشخص شده است بخش های از سم که تحمل وزن بیشتری دارند دارای خون رسانی بیشتری نیز هستند (۱۴، ۲۸). بخش های زاینده مانند نوار تاجی، کف سم و پاشنه دارای شبکه هایعروقی وسیع تری هستند (۱۶). این مطلب در نتایج تحقیق متأثید شد. اگرچه گفته می شود ناحیه اتصال پاشنه و کف محل اصلی تشکیل زخم کف سم است (۲، ۷، ۱۵).

تشکر و قدردانی

نویسندها مقاله برخود لازم می دانند که از آقای حاتم پور (کارشناس بخش آناتومی دانشکده دامپزشکی دانشگاه شهرکرد) جهت همکاری در انجام طرح و آقای محسن روشنی تصاویر کمال تشکر و سپاسگزاری را داشته باشد.

(*Bubalus bubalis*) foot. *J. Am. Vet. Radiol. Society.* 14:81-86.

- Mishra, P. C., Leach, D. A. (1983) Electron microscopy study of the veins of equine hoof wall. *J. Anat.* 136:543-560.
- Morocos, M. B. (1960) Nature and etiology of the ulceration of the claw in the bovine. *Mededelingen Veeartsenijschool, Rijksuniversiteit Gent*, Belgium.
- Nickel, R., Schummer, E. (1981) The anatomy of the domestic animals, The circulatory system, the skin and the cutaneous organs of the domestic mammals. Springer Verlag, New York, USA. p.524-536.
- Pollitt, C. C. (1999) Equine laminitis: A revised pathophysiology. *AEEP Proc.* 45:188-192.
- Pollitt, C. C. (1992) Clinical anatomy and physiology of normal equine foot. *Equine Vet. Educ.* 4:219-224.
- Pollitt, C. C., Molyneux, G. S. (1990) Scanning electron microscopical study of the dermal microcirculation of the equine foot. *Equine Vet. J.* 22: 79-87.
- Prentice, D. E., Wyn-Jones, G. A. (1973) Technique for angiography of the bovine foot. *Res. Vet. Sci.* 14:86-90.



21. Robert. G, Sisson and Grossman's the anatomy of the domestic animals. W. B. Saunders company, Washington square, Philadelphia, USA.
22. Robinson, N. E., Dabney, J. M., Weidner, W. J., Jones, G. A., Scott, J. B. (1975) Vascular response f the equine digit. Am. J. Vet. Res. 36:1249-1253.
23. Rooney, J. R. (1984) Arteriovenous anastomoses in the digit of the horse. J. Equine Vet. Sci. 4:182-183.
24. Schummer.A., Wilkens. H., Vollmerhaus. B., Habermehl. K-H. (1981) The circulatory system, the skin and the cutaneous organs of the domestic mammals. Edited by Verlag Paul Perry Berlin, Germany.
25. Simoens. P., Devos. N. R., Lauwers. H., Nicaise. M. (1980) Illustrated anatomical nomenclature of the arteries of the thoracic limb in the domestic mammals. Mededelingen Facultet Diergeneeskunde, Rijksuniversiteit Gent, Belgium.
26. Singh, S. S., Ward, W. R., Murray, R. D. (1994) An angiographic evaluation of vascular changes in sole lesion in the hooves of cattle . Br Vet. J. 150:41-52 .
27. Talukdar, A. H., Calhoun, M. L., Stinson, A. W. (1972) Specialized vascular structures in the skin of the horse. Am. J. Vet. Res. 33:335-338.
28. Vermunt, J. J., Leach, D. H. (1992) A macroscopic study of the vascular system of the bovine hind limb claw. New. Zeal. Vet. J. 40:139-145.
29. Vermunt, J. J., Leach, D. H. (1992) A scanning electron microscopic study of the vascular system of the bovine hind limb claw. New. Zeal. Vet. J. 40:146-154.



STUDY ON THE VASCULAR SYSTEM OF OVINE HIND LIMB CLAW BY MEANS OF CORROSION CASTING METHOD

Zamani-ahmadmehmudi, M.*², Mohamadnia, A.R.¹, Azarpazhoh, S.¹, Gholami, M.¹

¹*Department of Clinical Sciences, Faculty of Veterinary Medicine, Shahrekord University, shahrekord- Iran.*

²*Department of Clinical Sciences, Faculty of Veterinary Medicine, University of Tehran, Tehran-Iran.*

³*Graduated from the Faculty of Veterinary Medicine, Shahrekord University, Shahrekord- Iran.*

(Received 24 May 2009 , Accepted 18 January 2010)

Abstract:

The importance of vessel structure has been shown in pathogenesis of the equine and bovine laminitis. Investigation on vessel structures is necessary to diagnose the mechanism of laminitis. Due to lack of literature on ovine digital arteries. Ovine digital vessels were studied using corrosion casting method. The hind limbs of 15 lambs of 3 months ages were separated from tarsus joint. After the dissection of dorsal metatarsal artery, normal saline and resin metacrylat were injected into the vessels. In this species, the dorsal common digital artery and common plantar digital artery have the main function in blood supply. One branch runs to the heel bulb and the other runs to the axial wall and sole. The third branch of these arteries is responsible to blood supply of periople tissue. The common dorsal digital artery and abaxial proper digital artery drain all venous blood from the claw. The dorsal proper digital artery arises from the numerous smaller veins which are joined to form the deep and superficial venous networks of coronary margin and wall. This vein delivers blood to the common dorsal digital artery. The axial proper plantar vein drained into the abaxial proper plantar vein. Two main vessels which arise from venous network of wall, sole and plantar surface of the bulb, drain into the abaxial proper plantar vein.

Key words: sheep, hind limb claw, vessel cast, blood supply.

*Corresponding author's email: zamani@ut.ac.ir, Tel: 021-61115102, Fax: 021-66933222